

Схема расстановки тепломеров и термопар в «газовой» колонке (на отnose) с внешней стороны образца фасадной системы теплоизоляции «Сарatect-System В», смонтированного на фрагменте железобетонной стены

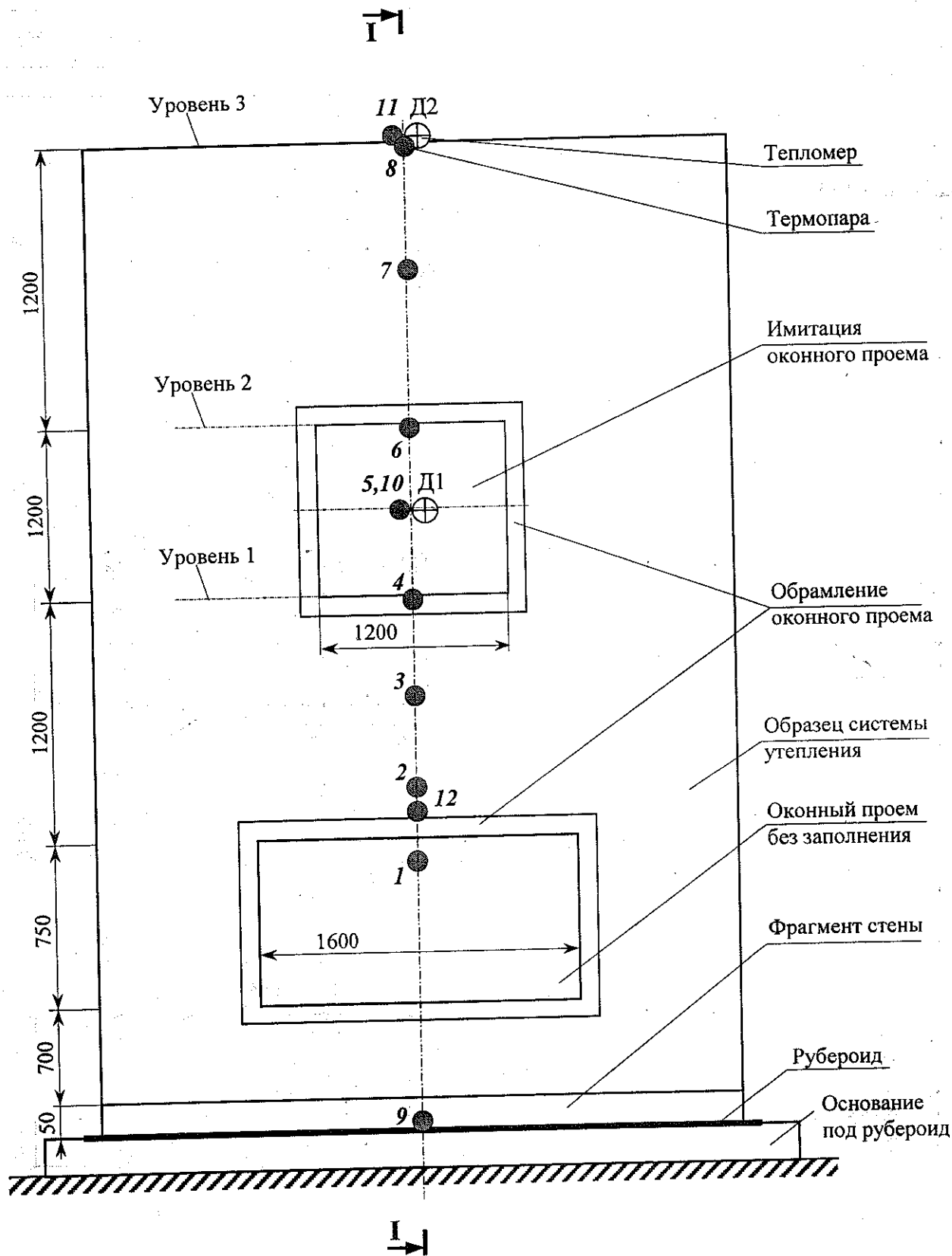


Рисунок 2.1а. Вид спереди

● - место расположения термопар №№ 1...12;

⊕ - место расположения тепломеров Д1 и Д2.

Термопары № 10 и № 11 установлены непосредственно возле тепломеров Д1 и Д2 соответственно.

Схема расстановки тепломеров и термопар в «газовой» колонке (на отnose) с внешней стороны образца фасадной системы теплоизоляции «Capatect-System B», смонтированного на фрагменте железобетонной стены

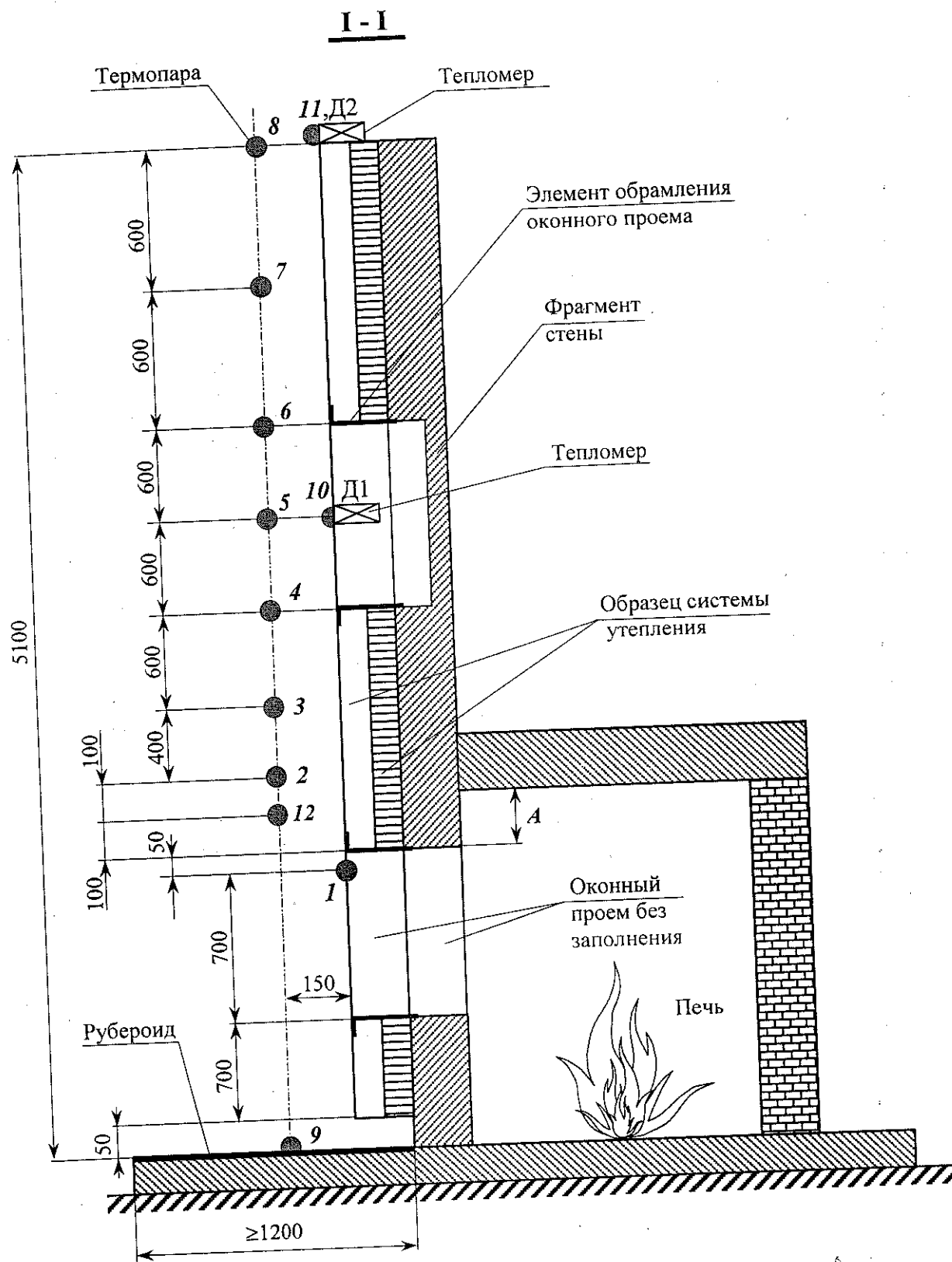


Рисунок 2.16. Разрез I-I.

Схема расстановки термопар по высоте и толщине сечения образца фасадной системы теплоизоляции «Саратект-System В», смонтированного на фрагменте железобетонной стены

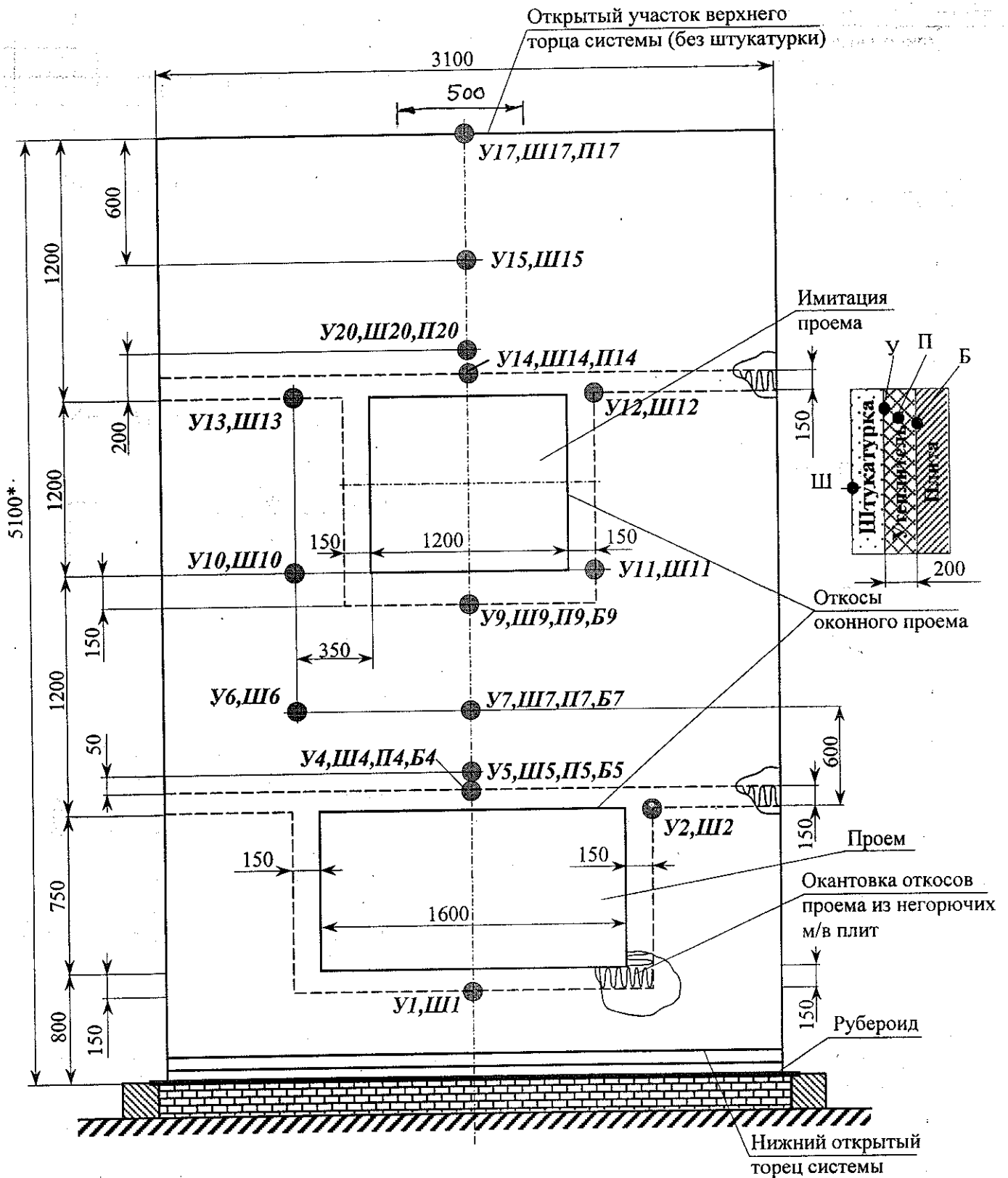


Рисунок 2.4 в

● - место расположения термопар типа Ш (на штукатурке), У (под штукатуркой), П (посередине толщины утеплителя из ПСБ-С), Б (на строительном основании);

ПРИЛОЖЕНИЕ №3

Графики изменения^{*)} в процессе огневых испытаний образца фасадной системы «Sapatect-WDVS B» плотности поглощенного теплового потока, температур нагрева в «газовой колонке» (на отnose) с внешней стороны образца и температур нагрева материалов образца по высоте и толщине его сечения

*) Термопары №№ У2 и У11 были преднамеренно оборваны при монтаже системы на фрагменте стены.

"Capatect-System B" 27.06.05

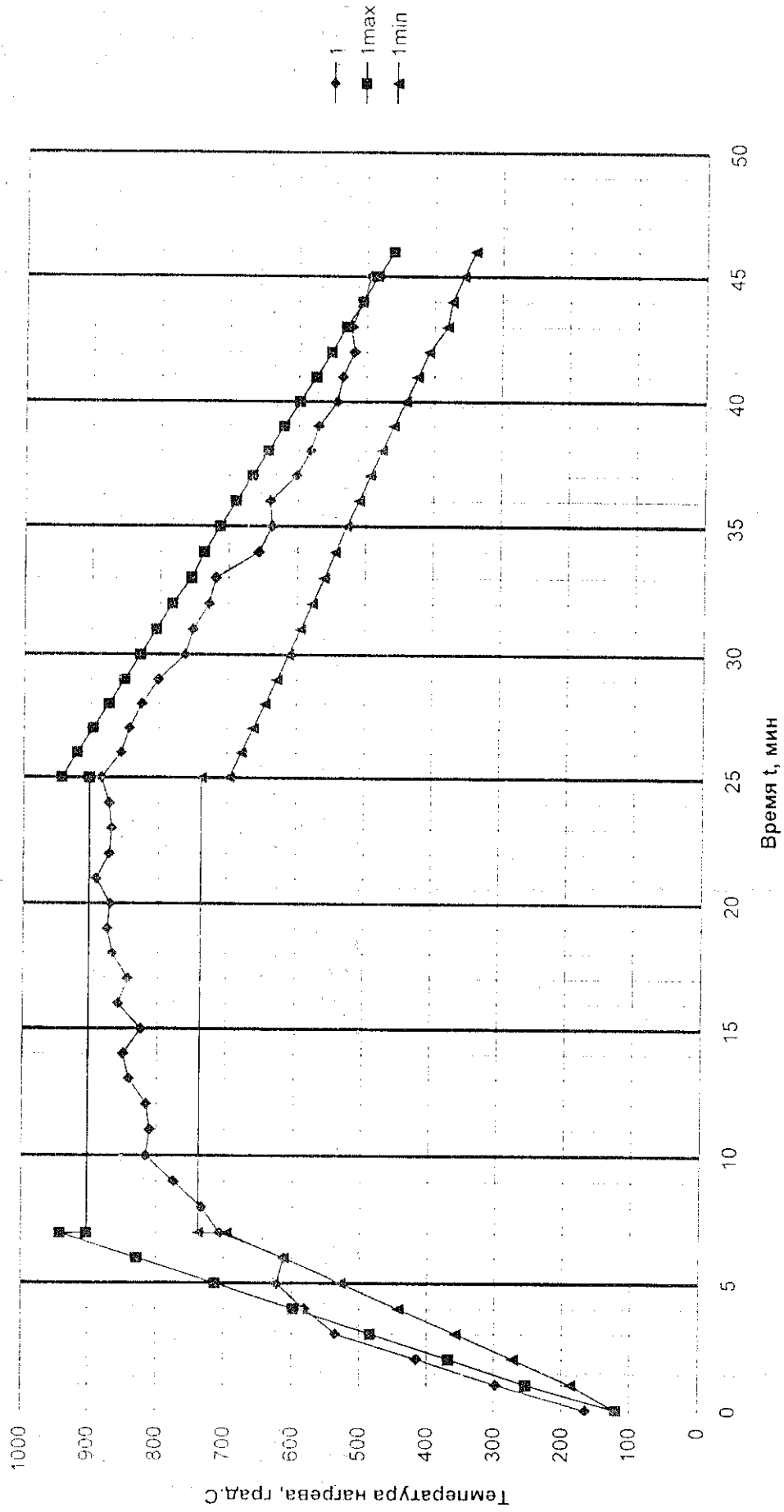


Рис.3.1. Изменение во времени испытания температур нагрева в контрольной точке 1 (графическая зависимость 1) на выходе из оконного (огневого) проема образца фасадной системы (см. совместно с рис. 2.1а,б Приложение 2), в сравнении с верхней (графическая зависимость 1max) и нижней (графическая зависимость 1min) допустимыми границами ее отклонения.

"Capatect-System B" 27.06.05

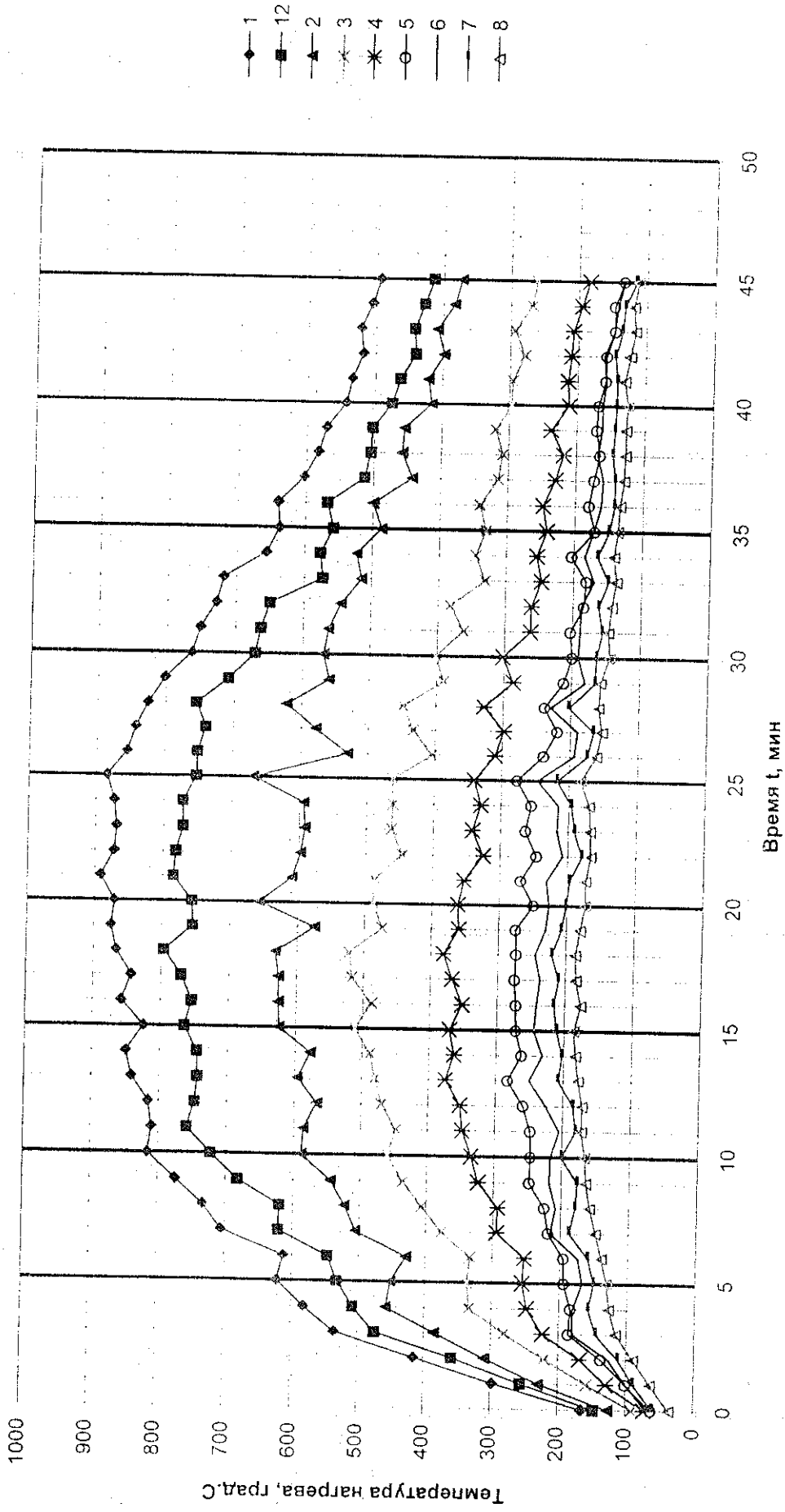


Рис.3.2. Изменение во времени испытания температур нагрева по высоте «газовой колонки» с внешней стороны образца фасадной системы, в точках 1...8 и 12 (см. совместно с рис. 2.1а,б Приложения 2), на расстоянии 150 мм от лицевой поверхности образца.

"Capatect-System B" 27.06.05

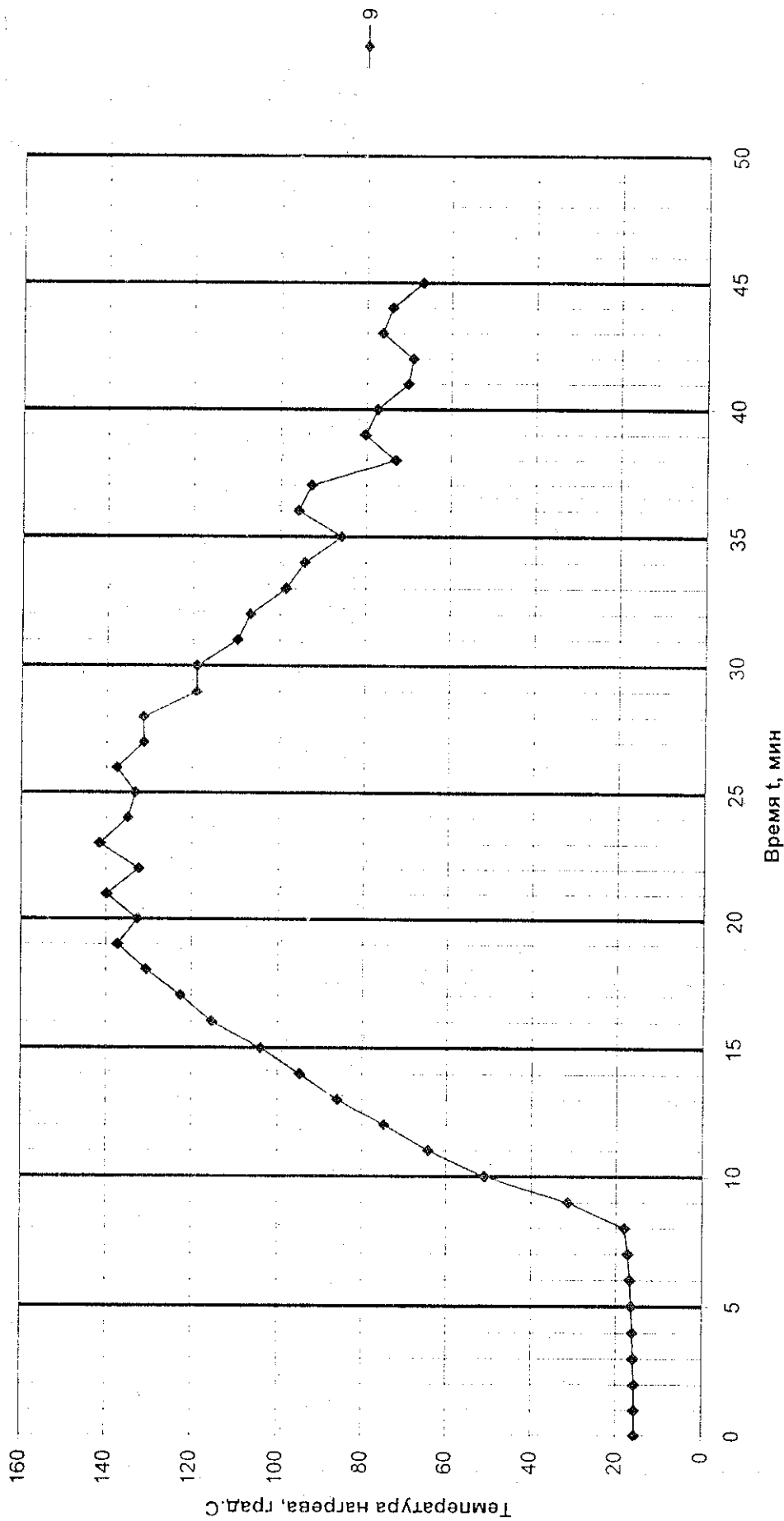


Рис.3.3. Изменение во времени испытания температур нагрева на лицевой поверхности полотна рубероида в точке 9 (см.совместно с рис.2.1а,б Приложения 2).

"Capatect-System B" 27.06.05

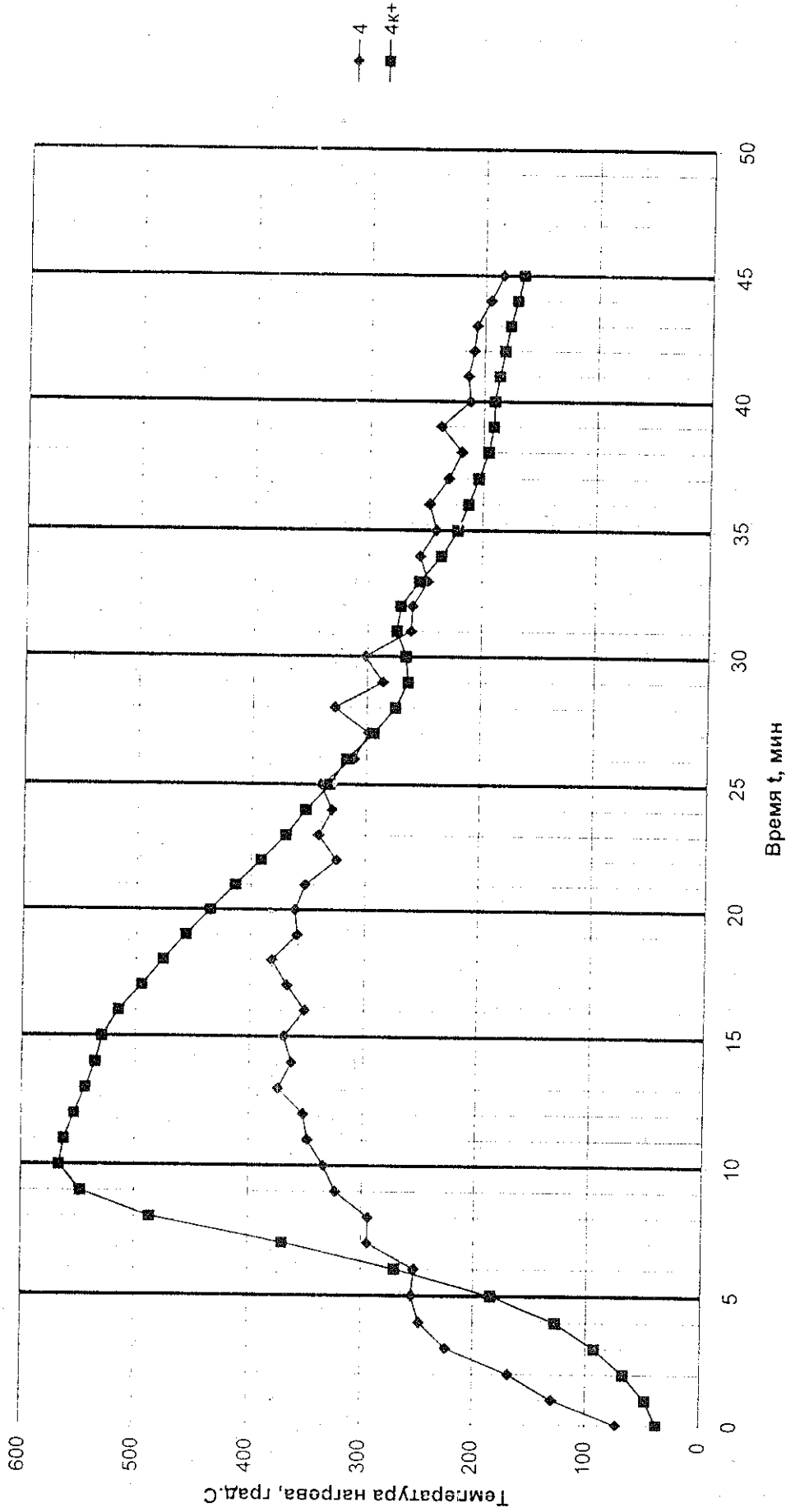


Рис.3.4. Изменение во времени испытания температуры нагрева в контрольной точке 4 (графическая зависимость 4) «газовой колонки» с внешней стороны образца фасадной системы (см. совместно с рис. 2.1а,б Приложение 2) в сравнении с верхней границей допустимого отклонения температуры в этой точке (графическая зависимость 4к+), установленной при калибровке печи.

"Capafect-System B" 27.06.05

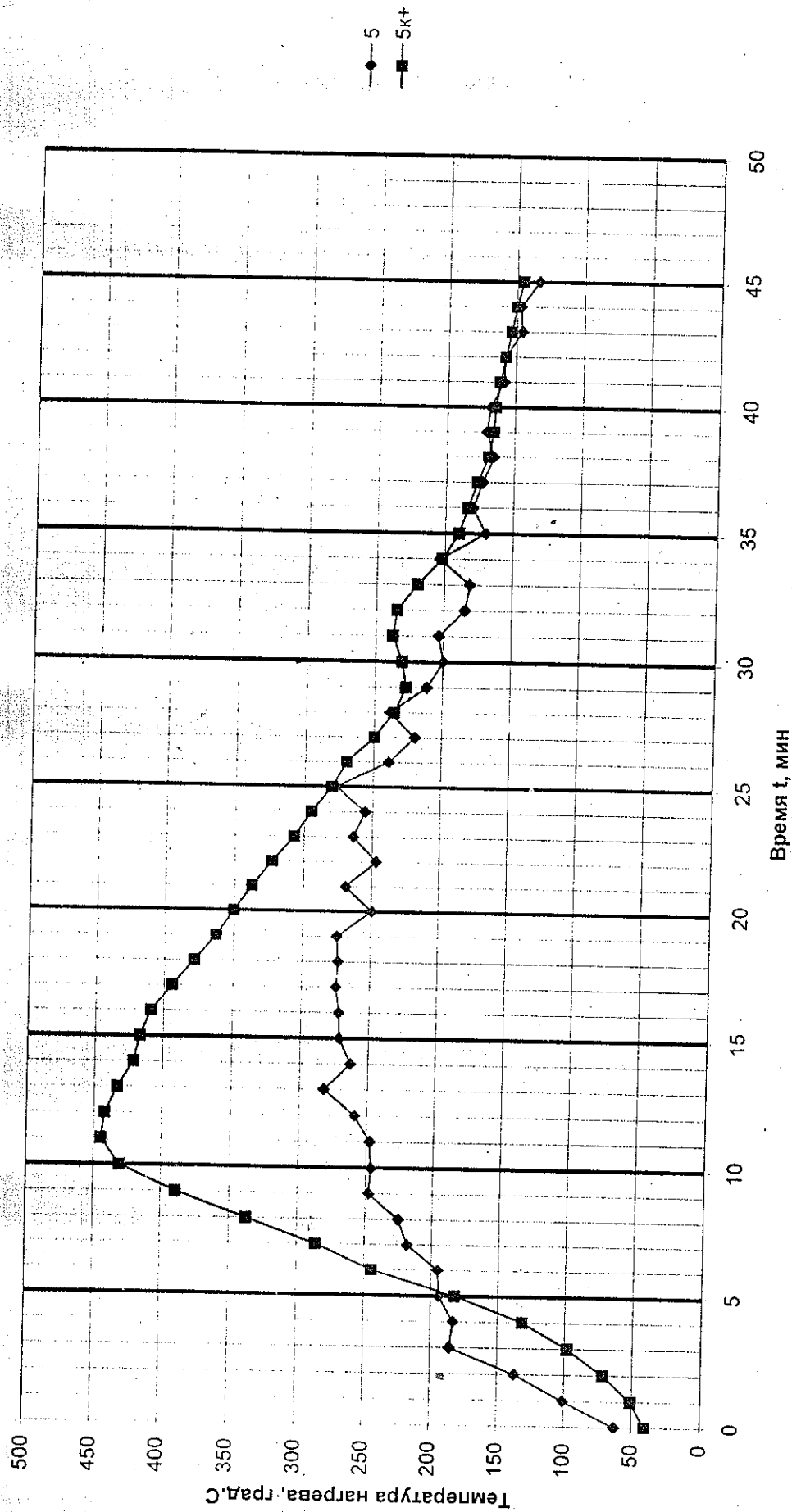


Рис.3.5. Изменение во времени испытания температуры нагрева в контрольной точке 5 (графическая зависимость 5) «газовой колонки» с внешней стороны образца фасадной системы (см. совместно с рис. 2.1а,б Приложение 2) в сравнении с верхней границей допустимого отклонения температуры в этой точке (графическая зависимость 5k+), установленной при калибровке печи.

"Capatect-System B" 27.06.05

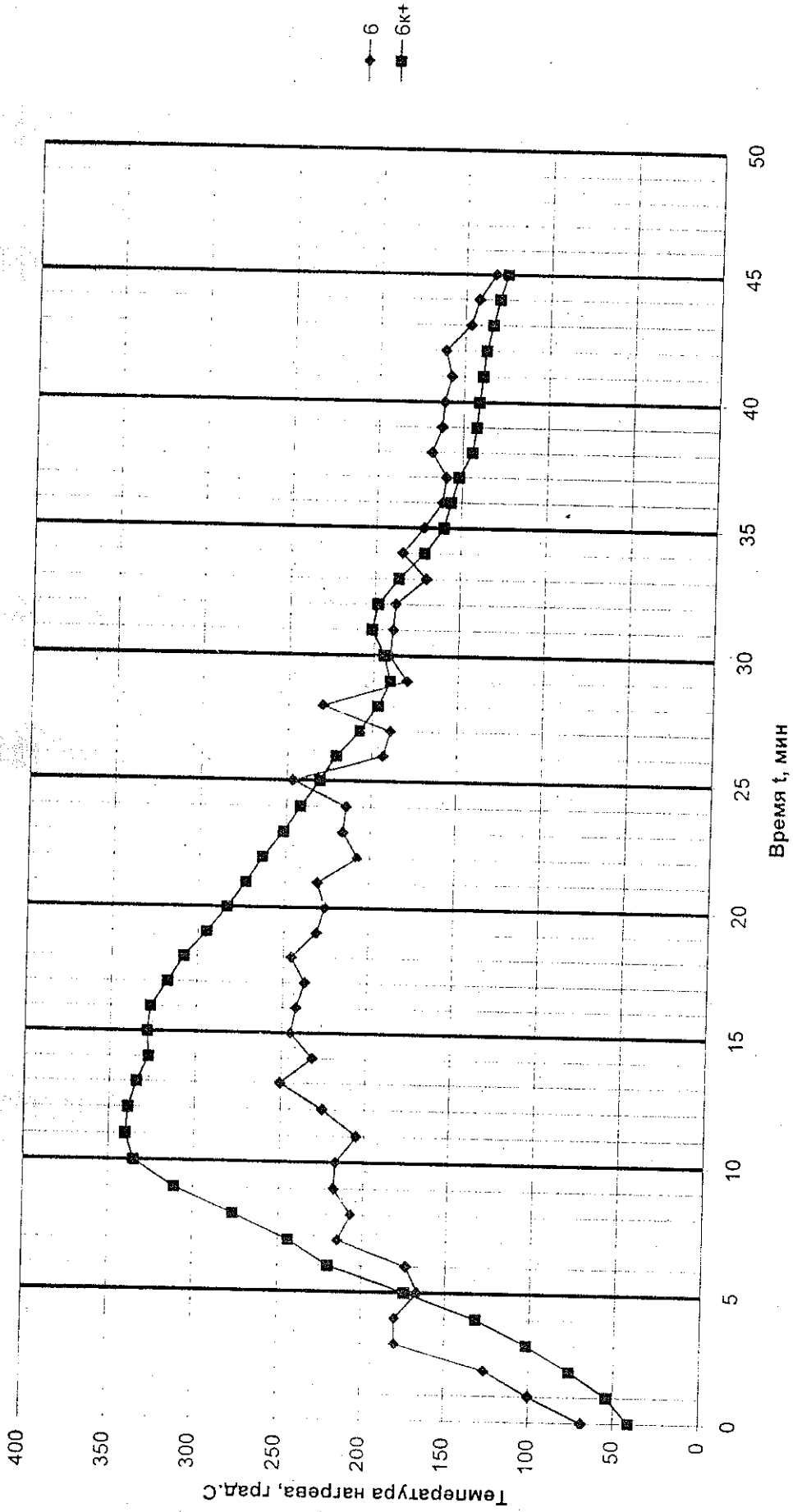


Рис.3.6. Изменение во времени испытания температуры нагрева в контрольной точке 6 (графическая зависимость 6) «газовой колонки» с внешней стороны образца фасадной системы (см. совместно с рис. 2.1а,б Приложение 2) в сравнении с верхней границей допустимого отклонения температуры в этой точке (графическая зависимость 6k+), установленной при калибровке печи.

"Capatect-System B" 27.06.05

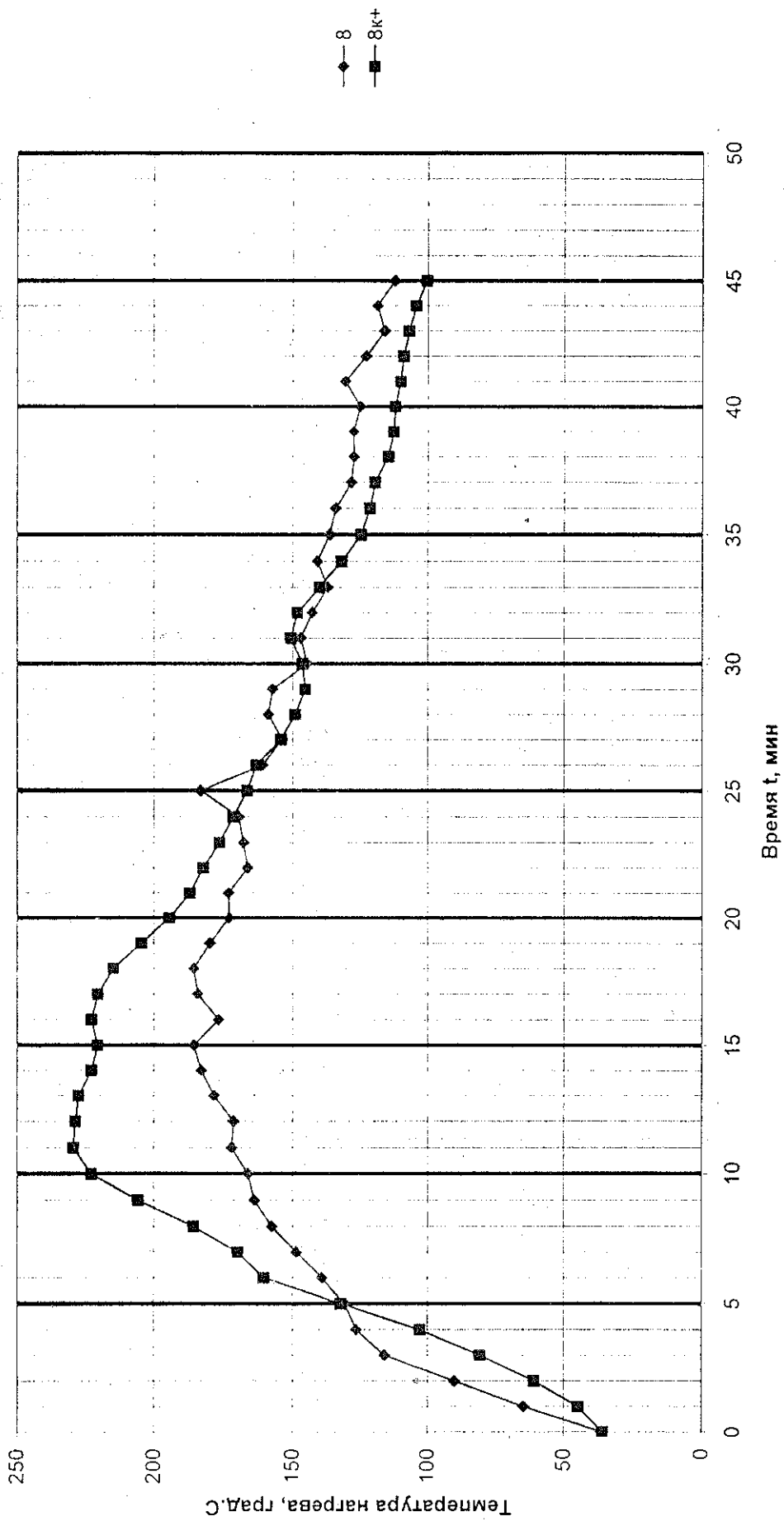


Рис.3.7. Изменение во времени испытания температуры нагрева в контрольной точке 8 (графическая зависимость 8) «газовой колонки» с внешней стороны образца фасадной системы (см. совместно с рис. 2.1а,б Приложение 2) в сравнении с верхней границей допустимого отклонения температуры в этой точке (графическая зависимость 8k+), установленной при калибровке печи.